

دانشور

پژوهشگر

بررسی بیان شاخص‌های سطحی CD44، CD133 و ABCG2 در رده‌های سلولی ملانوما و ارتباط آنها با سلول‌های بنیادی سرطان

نویسنده‌گان: مطهره رجبی فومنی^۱، مرضیه ابراهیمی^{۲*}، سید جواد مولی^۳، فاضل صحرانشین سامانی^۱

- ۱- دانشجوی کارشناسی ارشد زیست‌شناسی علوم جانوری، گرایش سلولی و تکوینی، گروه زیست‌شناسی تکوینی، دانشگاه علم و فرهنگ، تهران، ایران
- ۲- کارشناسی ارشد زیست‌شناسی علوم جانوری، گرایش سلولی و تکوینی، گروه سلول‌های بنیادی و زیست‌شناسی تکوینی، پژوهشگاه رویان، پژوهشکده زیست‌شناسی و فناوری سلول‌های بنیادی جهاد دانشگاهی مرکز تحقیقات علوم سلولی، تهران، ایران
- ۳- استادیار گروه سلول‌های بنیادی و زیست‌شناسی تکوینی، پژوهشگاه رویان، پژوهشکده زیست‌شناسی و فناوری سلول‌های بنیادی جهاد دانشگاهی، مرکز تحقیقات علوم سلولی، تهران، ایران
- ۴- دانشیار گروه ژنتیک مولکولی، دانشگاه تربیت مدرس، تهران، ایران

E-mail: mebrahimi@royaninstitute.org

* نویسنده مسئول: مرضیه ابراهیمی

چکیده

مقدمه و هدف: سلول‌های بنیادی ملانوما، مسئول تهاجم و متاستاز آن است. در این پژوهش، بیان شاخص‌های کاندید سلول‌های بنیادی سرطان در رده‌های سلولی ملانوما و ارتباط بیان این شاخص‌ها با ویژگی‌های بنیادینگی سلول بررسی شد.

مواد و روش‌ها: میزان بیان شاخص‌های CD44، CD133، ABCG2 در رده‌های سلولی ملانوما (D10، Me67، SK-MEL-NA8، WM115) و A375 (D10) توسط فلوسایتومتری سنجیده شد. پس از انتخاب شاخص و رده سلولی مناسب، سلول‌ها براساس بیان و عدم بیان شاخص منتخب به جمعیت مثبت و منفی جداسازی شدند؛ سپس عملکرد کلنی‌زاویی، تشکیل اسپروفیید و همچنین بیان ژن‌های بنیادی KLF4 و OCT4، SOX2، NANOG در سه جمعیت مثبت، منفی و رده سلولی جداسازی نشده ارزیابی شدند.

نتایج: نتایج ما نشان داد که در $1/85 \pm 28/65$ درصد از رده سلولی D10 شاخص CD133 بیان شد. در حالی که در همه رده‌های سلولی تست شده، شاخص CD44 و ABCG2 فاقد بیان بودند یا بیانی ضعیف داشتند. جمعیت CD133+ افزایش حدود $1/64$ برابر در قدرت کلنی‌زاویی ($P < 0.05$) و $2/2$ برابر در تعداد ملانوسفیر ($p = 0.000$) در مقایسه با جمعیت CD133- نشان داد. بررسی بیان ژن‌های بنیادینگی نشان داد که ژن OCT4 و NANOG در گروه CD133+ و ژن SOX2 در گروه CD133- دارای افزایش بیان بودند و هیچ تفاوتی در بیان ژن KLF4 در میان گروه‌ها وجود نداشت.

نتیجه‌گیری: یافته‌های این پژوهش نشان دادند که شاخص CD133 می‌تواند به عنوان شاخص سلول‌های شبکه بنیادی در رده‌ی سلولی D10 و دیگر سلول‌های ملانوما که شاخص CD133 را بیان می‌کنند، در نظر گرفته شود.

واژگان کلیدی: ملانوما، سلول‌های بنیادی سرطان، CD133

دوماهنامه علمی-پژوهشی

دانشگاه شاهد

سال بیستم- شماره ۱۰۶

شهریور ۱۳۹۲

درایافت: ۱۳۹۲/۵/۶

آخرین اصلاح‌ها: ۱۳۹۲/۶/۳۱

پذیرش: ۱۳۹۲/۷/۹

مقدمه

های بنیادی سرطان مغز، روده، شش، ملانوما و دیگر تومورهای جامد بیان می‌شود (۱۲ و ۱۳). در سال ۲۰۰۷، موزنی^۱ و همکارانش نشان‌داده‌اند که سلول‌های ABCG2 ملانومای بیان‌کننده شاخص‌های CD133 و CD133+ پتانسیل تومورزاوی بیشتری در موش NOD-SCID دارند؛ همچنین سلول‌های CD133+ حاصل از نمونه بیمار پس از چهل تا پنجاه روز تزریق به موش NOD-SCID، تومورهای قابل‌شناسایی را ایجاد می‌کردند در صورتی که سلول‌های CD133- حتی پس از چهار ماه تومور تشکیل‌ندادند (۱۴ و ۱۵)؛ علاوه بر این، شاخص CD133، افزایشی معنادار را در نمونه‌های بیماران دارای ملانومای عود‌کننده نسبت به نمونه‌های ملانومای غیر‌عود‌کننده نشان می‌دهد (۱۶). CD44 با چندین مولکول شامل کلژن، فیرونکتین، لامینین واکنش‌می‌دهد و این ارتباط متقابله، نقشی مهم در پیشرفت سرطان توسط افزایش تکثیر سلول، مهاجرت و متاستاز دارد؛ همچنین خاموش‌کردن این ژن در ملانوما موجب تخریب تکثیر سلول و مهاجرت می‌شود (۱۷) و در بسیاری از سرطان‌ها از جمله سرطان پستان به عنوان شاخص برای سلول‌های بنیادی سرطان شناخته شده است (۱۸).

از طرفی مطالعاتی وجود دارند که به طور تقریبی، حضور سلول‌های بنیادی سرطان را در ملانوما نفی می‌کنند، کوایتانا^۲ و همکارانش در سال ۲۰۰۸ برای ارزیابی اینکه چگونه سلول‌های تومورزاوی ملانوما از سلول‌های غیر‌تومورزا از نظر فنوتیپی قابل‌تشخیص هستند، شاخص‌هایی شامل «A2B5^a, CD44^b, c-kit^c, ABCB5, CD133^d, CD54^e, CD49f^f, CD49D^g, CD49B^h, CD49eⁱ, L6^j, CD10^k, CD151^l, CD29^m, CD271ⁿ, CD166^o, MCAM^p, p75^q, HNK-1^r, L1CAM^s-E^t-کاده‌رین و N-کاده‌رین» را که در سلول‌های ملانومای حاصل از چندین بیمار به صورت هتروژنوس بیان می‌شوند، بررسی کرده‌اند و مشخص شد که هر دو جمعیت مثبت و منفی از نظر بیان این شاخص‌ها، وقتی به طور جداگانه خالص‌سازی و به موش NOD/SCID IL2Rynull تزریق-

مانوما ناشی از دگرگونی ملانوسیت‌های تولید‌کننده رنگدانه است؛ این بیماری دارای قدرت تهاجم بالا و متاستاز سریع به سایر اندام‌ها بوده (۱) و در شمار کشیده‌ترین سرطان‌ها محسوب می‌شود. براساس گزارش‌های WHO تعداد موارد ملانوما در سراسر جهان با سرعتی بیشتر نسبت به انواع دیگر سرطان‌ها در حال افزایش است و سالانه موجب مرگ ۴۸ هزار نفر می‌شود؛ این سرطان اگرچه حدود ۴ تا ۵ درصد از سرطان‌های پوست را شامل می‌شود، علت ۷۴ درصد از مرگ و میرهای ناشی از سرطان پوست است (۲). زمانی که ملانوما شروع می‌کند به متاستاز، مقاومت زیادی نسبت به درمان و آپوپتوز نشان می‌دهد و قادر است به نواحی مختلف بدن از جمله قسمت‌های عمیق‌تر پوست، طحال، کبد، گره‌های لنفی و مغز استخوان مهاجرت کند (۳ تا ۵). مدت بقای افراد مبتلا پس از متاستاز به طور متوسط شش تا نه ماه است و فقط ۱۰ درصد از بیماران می‌توانند تا پنج سال زندگی کنند؛ به رغم این اهمیت بالینی، ساختارهای اساسی مولکولی و سلولی پیشرفت ملانوما هنوز به اندازه کافی شناخته شده است و هیچ بهبود معناداری در بقای این بیماران صورت نگرفته است (۶ و ۷)؛ این بیماری پیش‌آگهی کمی دارد و لذا درمان سریع را با مشکل مواجه می‌سازد که در بسیاری از موارد نیز شتابخش نیست؛ بنابراین رویکردهایی جدید برای درمان این بیماری لازم است (۸).

به نظر می‌رسد که سلول‌های بنیادی سرطان در ایجاد و پیش‌روی سرطان‌ها از جمله ملانوما نقش دارند (۹). سلول‌های بنیادی سرطان، قدرت خودنوزایی و تمایز داشته، ویژگی‌هایی مانند قدرت تحرک و تهاجم دارند (۱۰ و ۱۱). در خصوص حضور سلول‌های بنیادی در ملانوما گزارش‌هایی متفاوت وجود دارند؛ تعدادی از مطالعات از حضور سلول‌های بنیادی سرطان و شاخص‌های ویژه‌ی آن در ملانوما حمایت می‌کنند. CD133 که [این مورد] به عنوان مهم‌ترین شاخص سلول‌های بنیادی سرطان در نظر گرفته شود، در زیر مجموعه‌ای از سلول-

1 - Monzani
2- Quintana

کشت سلول‌ها به صورت تک‌لایه
به منظور کشت سلول‌ها به صورت تک‌لایه، تمام رده‌های سلولی ملانوما در محیط RPMI حاوی ۱۰ درصد سرم (FBS)، mM ۲ گلوتامین، ۱ درصد پنی‌سیلین/استرپتومایسین و ۱ درصد اسید‌آمینه‌های غیرضروری (NEAA) کشت شدند (همگی از شرکت GIBCO خریداری شدند). حدود ۱۵۰ هزار سلول به فلاسک T-25 حاوی ۵ میلی‌لیتر محیط کشت منتقل شدند؛ محیط کشت سلول‌ها دو روز یک‌بار به طور کامل، تعویض و سلول‌ها پس از انباشتگی مناسب، توسط تریپسین ۰/۰۵ درصد از کف فلاسک جدا و پاسازداده شدند.

ایمونوفنوتایپینگ

برای بررسی بیان شاخص‌های CD133، CD44 و ABCG2 در رده‌های سلولی ملانوما از روش ایمونوتایپینگ با استفاده از آنتی‌بادی‌های اختصاصی (جدول ۱) استفاده شد. ابتدا سلول‌ها توسط تریپسین ۰/۰۵ درصد از کف ظرف جدا شدند، پس از شستشو با بافر فسفات نمکی فاقد یون کلسیم و منیریم (PBS- سانتریفیوژ در سرعت ۴۰۰ g، ۵ دقیقه، دمای ۴ درجه سانتی‌گراد) و شمارش سلول‌ها، حدود ۱۵۰ هزار سلول به لوله‌های مخصوص فلوسایتومنتری منتقل و حجم نهایی توسط PBS به ۱۰۰ میکرولیتر رسانده شد؛ سپس مقدار ۳ میکرولیتر از آنتی‌بادی‌های مورد نظر و ایزوتیپ کنترل آنتی‌بادی‌های موردنظر به طور جداگانه به لوله‌های مرتبط اضافه و نمونه‌ها به مدت ۴۵ دقیقه در شرایط تاریکی و روی یخ انکوبه شدند؛ نمونه‌ها پس از شستشو، توسط دستگاه فلوسایتومنتری BD FACS Calibur مورد بررسی قرار گرفتند. به منظور بررسی بیان شاخص‌ها بر جمعیت سلول‌های زنده در هنگام انجام فلوسایتومنتری به لوله‌ها رنگ پرومیدیوم یدايد (PI) اضافه و بیان شاخص‌ها بر جمعیت PI- (سلول‌های زنده) آنالیز شدند؛ در انتهای اطلاعات حاصل با نرم‌افزار flowing software تجزیه و تحلیل شدند (جدول ۱).

می‌شوند، دارای فراوانی بسیار بالایی از سول‌های تومورزا هستند و در همه موارد تومور ایجادمی‌کنند (۱۹ تا ۲۱). با مطالعه‌ای که در سال ۲۰۰۹، شکلتون^۱ و همکارانش، روی سلول‌های ملانومای حاصل از نمونه بیمار و با استفاده از شاخص CD133 انجام دادند، نیز نتایجی مشابه به دست آمده است (۲۲).

ناهنجاری و ناهمانگی موجود در خصوص حضور سلول‌های بنیادی سرطان در ملانوما می‌تواند به مقدار زیادی ناشی از تفسیرهای مختلف خود مدل و همچنین پراکندگی در روش‌های مطالعه سلول بنیادی ملانوما باشد (۲۳). با توجه به اهمیت شناسایی سلول‌های بنیادی سرطان به منظور توسعه روش‌های درمانی، در این پژوهش به مطالعه‌ای منسجم در خصوص بررسی بیان شاخص‌های کاندید سلول‌های بنیادی سرطان و سپس جداسازی سلول‌ها براساس شاخص مورد نظر و بررسی ویژگی‌های بنیادی مانند قابلیت کلنزیابی و تشکیل تشکیل اسفوویید و همچنین بیان ژن‌های مؤثر در حفظ حالت بنیادی، پرداخته شده است.

مواد و روش‌ها

رده‌های سلولی مورد مطالعه

در این مطالعه از رده‌های سلولی ملانومای متاستازی شامل D10، A375، SK-MEL NA8، WM115، Me67 و استفاده شد که اسپاگنولی^۲ از مرکز آنکولوژی بیمارستان و دانشگاه بازل سوئیس، آن را به آزمایشگاه سلول‌های بنیادی سرطان پژوهشگاه رویان اهدا کردند؛ تمامی این رده‌های سلولی در محیط کشت (GIBCO) کشت شدند و با توجه به نوع کشت، مواد مکمل به محیط پایه آنها اضافه شدند.

1-Shackleton
2 - Spagnoli

جدول ۱. آنتی‌بادی‌های مورد استفاده در این پژوهش

نام آنتی‌بادی	رنگ کونژوگه	نوع ایزوتاپ	میزان تولید-کننده	شرکت سازنده	کد ماده
Anti-human CD133/2 (293C3)	PE	IgG2b	موش	Miltenyi Biotec	130-090-853
(کنترل ایزوتاپ) Mouse IgG2b	PE	IgG2b	موش	Miltenyi Biotec	130-092-215
Anti-human CD44	FITC	IgG2b	موش	BD	555478
(کنترل ایزوتاپ) Mouse IgG2b	FITC	IgG2b	موش	DAKO	X0941
Anti-Human CD338 (ABCG2)	PE	IgG2b	موش	eBioscience	12-8888

تجمع‌های سلولی، مخلوط سلول از فیلتر مش عبورداده شد؛ سرانجام جمعیت‌های سلولی زنده مورد نظر با دستگاه BD FACSaria II جداسازی شدند.

بررسی قابلیت کلی زایی

از ویژگی‌های سلول‌های بنیادی سرطان، توانایی تشکیل کلنی است؛ لذا توانایی سلول‌ها در گروه‌های خالص شده با استفاده از این روش بررسی شد؛ به طور خلاصه ۲۰۰ عدد سلول در ظروف کشت شش‌خانه‌ای (سطح ۱/۶ سانتی‌متر مربع) حاوی ۲/۵ میلی‌لیتر محیط کامل اضافه شد و پس از ده روز، تعداد کلنی‌های تشکیل شده در گروه‌ها به طور جداگانه شمارش و بررسی شدند؛ این تست در سه تکرار و به صورت سه‌تایی انجام شد و اعداد به دست آمده با برنامه Stata نسخه ۱۲ آنالیز شدند.

بررسی قابلیت تشکیل اجسام کروی شکل (spheroid)

یکی دیگر از عملکردهای سلول‌های بنیادی سرطان، توانایی تشکیل اسفیر در محیط کشت عاری از سرم است. به منظور بررسی توانایی جمعیت‌های سلولی خالص شده، ۵ هزار عدد از هر گروه سلولی در ۲ میلی‌لیتر محیط کشت فاقد سرم به ظروف کشت شش‌خانه‌ای دارای قدرت اتصال پایین (سطح ۱/۶ سانتی‌متر مربع) اضافه شد؛ از روز اول و هر دو روز یکبار ۲۰ نانوگرم فاکتور رشد EGF و bFGF (پژوهشگاه رویان) به ازای هر

جداسازی سلول‌ها با استفاده از دستگاه فلوسیتومری پس از اینکه نتایج حاصل از آنالیزهای فلوسیتومری، بررسی و شاخص رده سلولی مناسب انتخاب شد، از روش FACS (Fluorescence-Activated Cell Sorting) برای جداسازی و خالص‌سازی سلول‌ها براساس شاخص مورد نظر استفاده شد؛ به این ترتیب که ابتدا سلول‌ها توسط تریپسین ۰/۰۵ درصد از کف ظرف جدا شدند و پس از شستشو توسط بافر فسفات نمکی (سانتریفیوژ در سرعت ۴،۰۰۰ g، ۵ دقیقه، دمای ۴ درجه سانتی‌گراد) حجم مخلوط سلولی توسط محلول مخصوص رنگ‌آمیزی (PBS- + 2% FBS) به ۵۰۰ میکرولیتر رسانیده و سلول‌ها شمارش شدند؛ پس از شمارش، سلول‌ها به سه گروه تقسیم شدند: ۱- گروه کنترل منفی، سلول‌های بدون رنگ‌آمیزی (حدود $10^3 \times 10^6$)؛ ۲- گروه کنترل ایزوتاپ که به آن ۳ میکرولیتر ایزوتاپ آنتی‌بادی اضافه شد (حدود $10^3 \times 10^6$) و ۳- گروه تست که به آن ۳ میکرولیتر آنتی‌بادی CD133 به ازای هر 10^6 عدد سلول اضافه شد (بقیه سلول‌ها). نمونه‌ها به مدت ۴۵ دقیقه در شرایط تاریکی و روی بخش انکوبه شدند؛ پس از اتمام انکوباسیون، نمونه‌ها توسط PBS- شستشو و رسوب سلولی نمونه تست در محلول مخصوص جداسازی سلول (این محلول شامل PBS- به همراه ۱ میلی‌مolar EDTA، ۲۵ میلی‌مolar HEPES و ۱ درصد FBS است) معلق شد (۱ میلی‌لیتر به ازای هر $10^6 \times 2$). برای حذف

توسط کیت (TaKaRa) و با استفاده از پرایمر هگزامر تصادفی (Random Hexamer) به cDNA تبدیل شد؛ سرانجام Real-Time PCR برای cDNA تولید شده انجام شد؛ برای این منظور ۱ میکرولیتر از هر پرایمر مرتبط (جدول ۲)، ۶ میکرولیتر از SYBRGreenMasterMix با TaKaRa)، ۱۰ میکرولیتر آب و ۲ میکرولیتر از cDNA با هم ترکیب شدند؛ از ژن GAPDH نیز به عنوان کنترل داخلی استفاده شد؛ این روند با سه تکرار بیولوژیک و هر تکرار به صورت دوتایی صورت گرفت. واکنش-Real Time PCR توسط دستگاه Corbet Life Science انجام شد و داده‌ها با روش $\Delta\Delta Ct$ - آنالیز شدند. به منظور بررسی معناداری تفاوت بیان ژن در میان گروه‌ها از ONEWAY ANOVA و Post Hoc Tests استفاده شد.

میلی‌لیتر محیط کشت اضافه شد؛ پس از ده روز که اسپرووئیدها به رشد نهایی خود رسیدند (یعنی زمانی که مرگ سلولی در آنها آغاز می‌شود و مرکز اسفیر به رنگ قهوه‌ای درمی‌آید)، تمام اسپرووئیدهای تشکیل شده در هر خانه توسط میکروسکوپ نوری معکوس شمارش شدند؛ این تست در سه تکرار بیولوژیک و به صورت سه‌تایی انجام شد. برای بررسی معناداری تفاوت در میان گروه‌ها از Post Hoc Tests ONEWAY ANOVA و ONEWAY ANOVA استفاده شده است.

بررسی بیان ژن‌های بنیادینگی
به منظور بررسی و مقایسه بیان ژن‌های بنیادینگی در گروه‌های سلولی خالص شده از روش PCR توسط ترایزول استفاده شد؛ برای این منظور ابتدا RNA توسط ترایزول (SIGMA) استخراج شد و سپس RNA استخراج شده

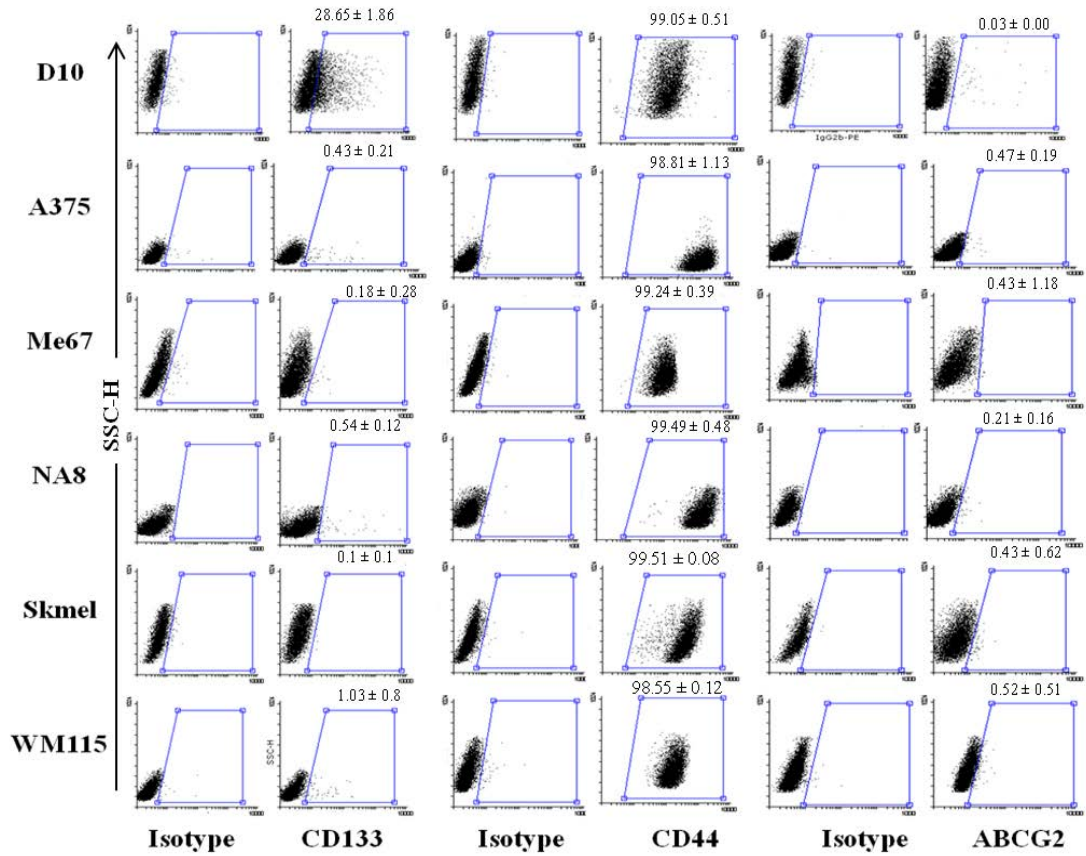
جدول ۲. فهرست پرایمرهای مورد استفاده در این پژوهش

طول محصول (جفت باز)	توالی پرایمر	ژن
122	F: CTCATTTCTGGTATGACAAC R: CTTCCTCTGTGCTCTGCT	GAPDH
110	F: AAAGAATCTCACCTATGCC R: GAAGGAAGAGGAGAGACAGT	NANOG
151	F: GGGAAATGGAAGGGGTGCAAAAGAGG R: TTGCGTGAGTGTGGATGGATTGGTG	SOX2
101	F: GTTCTTCATTCACTAACCGAAGG R: CAAGAGCATCATTGAACTTCAC	OCT4
150	F: ATTACCAAGAGCTCATGCCA R: CCTTGAGATGGGAACCTTTG	KLF4
199	F: GCATCCATCAAGTGAAACGT R: GGTTGGCGTTGTACTCTGT	CD133/ PROM1

ABC2 را یا بیان نمی‌کردند یا بیان آن را در حدی بسیار پایین نشان می‌دادند. شاخص CD133 در رده سلولی D10 به طور نسبی و به میزان $1/85 \pm 28/65$ درصد بیان شد و دیگر رده‌های سلولی، بیانی بسیار پایین یا عدم بیان داشتند. براساس این نتایج، رده سلولی D10 و شاخص سطحی CD133 برای جداسازی انتخاب شدند (شکل ۱).

نتایج

بررسی ایمونوفوتایپ رده‌های سلولی ملانوما
در این مطالعه، میزان بیان شاخص‌های سطحی مرتبط با سلول‌های بنیادی سرطان (ABCG2، CD133، CD44 و CD44) به صورت تکریگ مورد بررسی قرار گرفت. نتایج حاصل از آنالیزهای فلوسایتومتری نشان داد که شاخص CD44 در همه رده‌های سلولی، بیان بالایی (به طور تقریبی ۱۰۰ درصد) داشته است. تمام رده‌ها شاخص

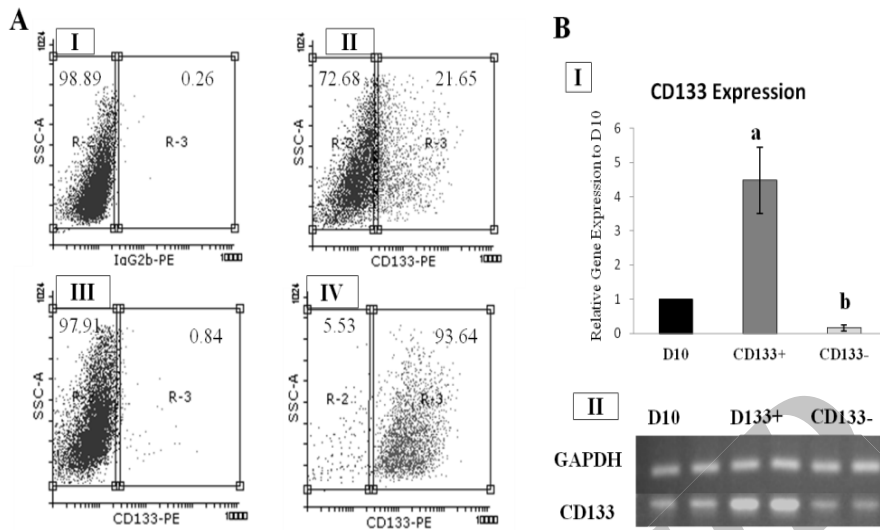


شکل ۱. نمودارهای مربوط به بیان شاخصهای CD44، CD133 و ABCG2 در رده‌های سلولی D10، A375، Me67، NA8، Skmel و WM115 و جداسازی سلولی Wm115 و SKmel

گروه دوباره توسط دستگاه بررسی شدند. جمعیت‌های که خلوص بیش از ۹۰ درصد داشتند، برای آنالیزهای بعدی انتخاب شدند. آنالیزهای مولکولی انجام شده توسط روش Real-Time PCR نشان داد که تفاوتی معنادار در سطح mRNA ژن CD133 میان سه جمعیت سلولی وجود داشت؛ همچنین بیان ژن CD133 در گروه CD133+ در گروه CD133- نسبت به گروه D10 افزایشی معنادار داشت ($p=0.005$)؛ بیان این ژن در گروه D10 نیز بیشتر از -CD133- ($p=0.008$) بود (شکل ۲B).

جداسازی سلول‌ها:

براساس داده‌های فلوسایتمتری رده سلولی D10 و شاخص CD133 برای جداسازی سلول‌ها انتخاب شدند؛ این رده سلولی براساس بیان و عدم بیان شاخص CD133 در قالب دو جمعیت CD133+ و CD133- جداسازی شد؛ ناحیه R-3 به عنوان جمعیت CD133+ و ناحیه R-2 به عنوان CD133- انتخاب شدند (شکل ۲A)؛ پس از جداسازی سلول‌ها، برای بررسی درصد خلوص سلول‌های جداسازی شده، حدود ۵ هزار سلول از هر

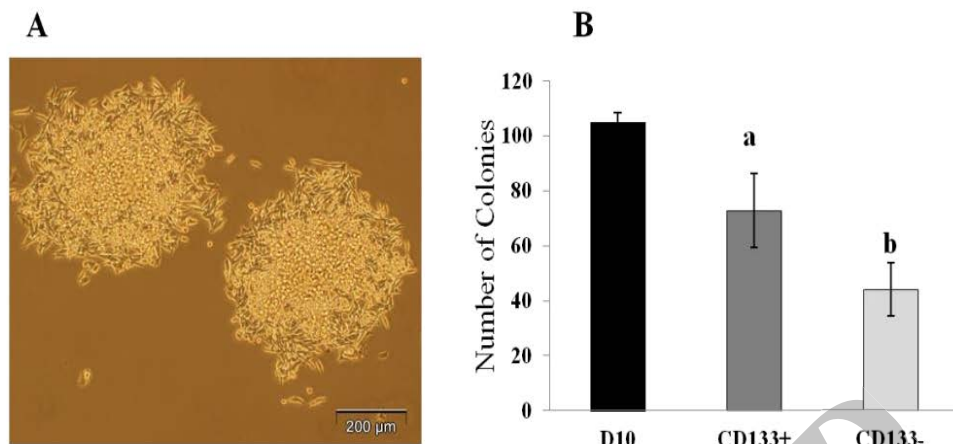


شکل ۲. نمودارهای مربوط به روند جداسازی سلول‌ها در A: ایزوپیپ کنترل پیش از جداسازی سلول‌ها؛ II: بررسی بیان CD133⁺ در رده سلولی D10 پیش از جداسازی سلول‌ها نشان داد که ۲۱/۶۵ درصد بیان کننده این شاخص هستند؛ III. تعیین خلوص جمعیت-CD133⁺ پس از جداسازی (۹۷.۹۱٪) و IV. تعیین درصد خلوص جمعیت-CD133⁺ (۹۳.۶۴٪) پس از انجام جداسازی توسط دستگاه FACS: تأیید صحت انجام جداسازی سلول‌ها توسط بررسی‌های مولکولی؛ I. میزان بیان ژن CD133 در سه گروه سلولی D10، CD133⁺ و CD133⁻ (Mean±SD)؛ a: معناداری جمعیت-CD133⁺ نسبت به CD133⁻ (p=0.005)؛ b: معناداری جمعیت-CD133⁻ نسبت به CD133⁺ (p≤0.008)؛ II. باندهای محصولاتی Real-Time PCR پس از انجام الکتروفورز روی ژل آگارز (p≤0.008).

در گروه‌های مختلف تفاوتی با یکدیگر نداشت (شکل ۳A). نتایج حاصل از شمارش کلنی‌ها در شکل ۳B نشان داده شده است. همان‌طور که در نمودار نشان داده شده است، از میان گروه‌های مورد آزمایش، قدرت کلنی زایی در گروه CD133⁺ نسبت به گروه CD133⁻، ۱/۶۴ برابر بود؛ همچنین قدرت کلنی زایی در گروه D10 نسبت به CD133⁻ ۱/۹۴ برابر بود و تفاوتی معنادار در میان گروه‌ها وجود داشت (P<0.05).

بررسی قابلیت کلنی‌زایی

به منظور بررسی توان کلنی‌زایی در گروه‌های مورد مطالعه، تعداد ۲۰۰ سلول در سطح ۱/۶ سانتی‌متر مربع به مدت ده روز بدون تغییر محیط کشت شدند. کلنی‌های تشکیل شده دارای شکل گرد و با قطر بیش از ۴۰۰ میکرومتر بودند. سلول‌های تشکیل دهنده کلنی‌ها در مرکز کلنی به صورت مدور و چندلایه‌ای و در حاشیه آن به صورت دوکی و تک لایه‌ای بودند؛ شکل و وسعت کلنی و همچنین تراکم سلول‌های تشکیل دهنده کلنی‌ها

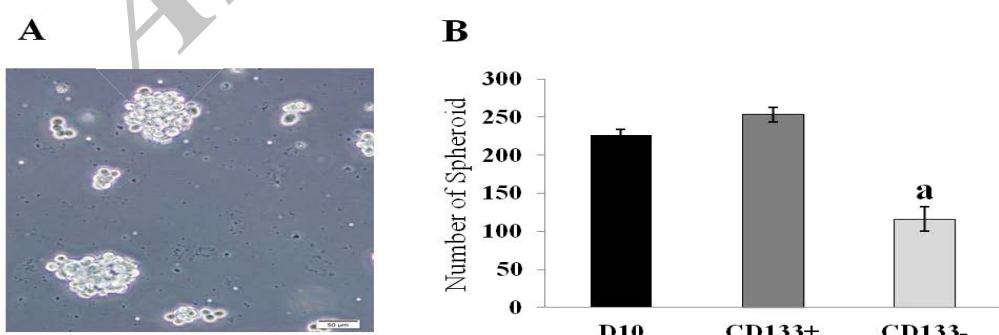


شکل ۳. A. نمای میکروسکوپ نوری معکوس از تک کلی حاصل از کشت ۲۰۰ عدد سلول اولیه در سطح ۱/۶ سانتی متر مربع سطح ظرف کشت به مدت ده روز؛ B. تعداد کلونی‌های تشکیل شده در گروه‌های مختلف. نتایج حاصل سه تکرار مستقل که هر یک نیز به طور دوتایی انجام شده و به صورت $\text{Mean} \pm \text{SD}$ در نمودار به نمایش درآمده‌اند؛ a. معناداری تفاوت در گروه CD133^+ نسبت به گروه‌های D10 و b. معناداری تفاوت در گروه CD133- نسبت به گروه D10 ($p < 0.05$)

مورفولوژی، اندازه اسفوئیدها و همچنین تراکم سلول‌های تشکیل دهنده آن مشاهده نشد. قدرت تشکیل اسفوئید در گروه CD133^+ به طور تقریبی ۲/۲ برابر بیشتر از گروه CD133- ($p=0.000$) و در گروه CD133- ($p=0.000$). به طور معناداری، کمتر از گروه D10 بود (شکل ۴B). تفاوتی معنادار میان گروه D10 و CD133^+ مشاهده نشد ($p=0.063$) (شکل ۴B).

بررسی قابلیت تشکیل اجسام کروی شکل (اسفوئید):(spheroid)

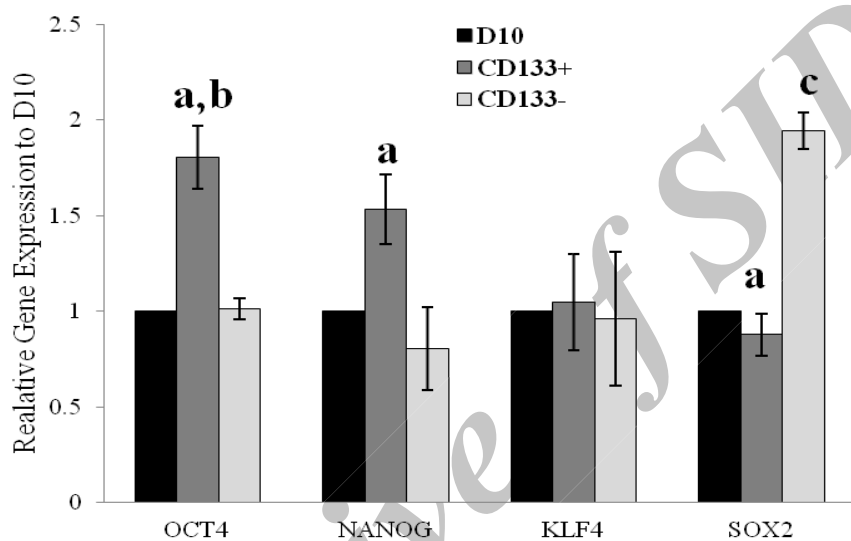
یکی دیگر از ویژگی‌های سلول‌های بنیادی سرطان، تشکیل اسفیر در محیط آزمایشگاه است که می‌تواند شاهدی بر تشکیل تومور در موجود زنده باشد؛ به این منظور، تعداد ۵ هزار سلول در سطح ۱/۶ سانتی متر مربع و در ۲/۵ میلی‌لیتر محیط فاقد سرم به مدت ده روز کشت شدند (شکل ۴A). در گروه‌های مختلف از نظر



شکل ۴. A. نمای میکروسکوپ نوری معکوس از اسفوئیدهای حاصل از کشت ۵ هزار سلول اولیه در سطح ۱/۶ سانتی متر مربع سطح ظرف کشت به مدت ده روز (بزرگنمایی $\times 20$)؛ B. تعداد اسفوئیدهای تشکیل شده در گروه‌های مختلف مشتق از رده سلولی ۱۰؛ a. نتایج حاصل سه تکرار مستقل که هر یک نیز به طور دوتایی انجام شده‌اند و به صورت $\text{Mean} \pm \text{SD}$ در نمودار به نمایش درآمده‌اند؛ a. معناداری تفاوت در گروه CD133- نسبت به گروه CD133^+ و D10 ($P \leq 0.0001$)

معنادار داشتند ($p<0.05$)؛ همچنین بیان OCT4 در CD133+ نسبت به D10 افزایش داشت. از نظر بیان KLF4 تفاوتی معنادار میان گروه‌ها وجود نداشت، در حالی که ژن SOX2 در گروه CD133- نسبت به D10 و CD133+ به طور معناداری افزایش یافته بود ($p<0.05$) (شکل ۵).

بررسی بیان ژن‌های بنیادی در سلول‌های جداسده
بررسی بیان ژن‌های دخیل در حفظ حالت بنیادینگی از جمله OCT4، NANOOG، KLF4 و SOX2 در سه گروه CD133+، D10 و CD133- نشان داد که در گروه CD133+، D10 ژن OCT4 و NANOOG نسبت به گروه CD133- افزایشی



شکل ۵. بررسی بیان ژن‌های OCT، NANOOG، KLF4 و SOX-2 در سه گروه CD133-، CD133+ و D10 به روش Real-Time PCR. نتایج به صورت Mean±SD سه تکرار مجزا نشان داده شده‌اند؛ a. $P=0.003$ در گروه CD133+ نسبت به CD133-؛ b. $P<0.03$ در گروه CD133+ نسبت به D10 و c. $P\leq 0.02$ در گروه CD133- نسبت به D10.

CD133- جداسازی شد.

استفاده از دو تست کلینی‌زایی و تشکیل اسپروئید که عملکرد سلول‌های بنیادی سرطان را مشخص می‌کنند، نشان داد که جمعیت CD133+ توان تشکیل کلینی و اسپروئید بالاتری نسبت به جمعیت CD133- دارند؛ لذا جمعیت CD133+ از نظر ویژگی‌های عملکردی به سلول‌های بنیادی سرطان شبیه است. در مطالعه‌ای که شارما^۱ و همکارانش در سال ۲۰۱۲ انجام دادند، مشخص شد، وقتی سلول‌های CD133+ ملانومایی از پاساژهای اولیه ملانومای متاستازی جداسازی و به موش NCr-nu/nu تزریق می‌شوند در تعداد کم سلول (۱۰۰۰ عدد) نیز پس

بحث

در این مطالعه به بررسی بیان شاخص‌های سلول‌های بنیادی سرطان و ارتباط آن با ویژگی بنیادی در سطح عملکردی و بیان ژن، در چند رده سلولی ملانوما (D10، A375، SK-MEL 5، WM115، NA8، Me67) و ABCG2 در رده‌های بالا به روش فلوسایتومتری بررسی شدند و سپس براساس نتایج حاصل، رده سلولی D10 (مشتق از بیوپسی یک بیمار با CD133+) رده سلولی ملانومای متاستاتیک به غدد لنفاوی) و شاخص CD133 برای جداسازی سلول‌ها در این مطالعه انتخاب شد و این رده سلولی به روش FACS در قالب دو گروه CD133+ و CD133- شناسایی شد.

¹ - SHARMA

داشته است و بیان Klf4 تفاوتی معنادار را نشان نداده. در مطالعه جتر^۱ و همکارانش در سال ۲۰۱۱ ۲۰۱۱ مشخص شد که خاموش کردن NANOG، موجب کاهش رشد کلینی و تومورزایی در چند رده سلولی سرطان سینه، کولن، پروستات و همچنین مدل‌های زنوگرفت می‌شود؛ علاوه‌بر این افزایش بیان NANOG در سلول‌های بنیادی سرطان با افزایش بیان مولکول‌های واپسیه به سلول‌های بنیادی سرطان مانند CD133، CD44، ALDH1A1 و ABCG2 مرتبط است (۲۵). Oct4 مهم‌ترین معیار رونویسی القاکننده پرتوانی^۲ است که در بسیاری از سرطان‌ها توسط سلول‌های شبه‌بنیادی سرطان^۳ بیان می‌شود؛ بیان این ژن در ملانوما موجب تمایز زدایی سلول‌های ملانوما و تبدیل آن به سلول‌های شبه‌بنیادی سرطان می‌شود. بیان Oct4 در ملانوما توسط کمبود اکسیژن القامی شود و بیان آن در زیرمجموعه‌ای از سلول‌های ملانوما در نمونه‌های بیماران قابل مشاهده است (۲۶)؛ SOX2 نیز یک معیار رونویسی است که از طریق تسهیل گذر از مرحله G1 به S موجب القای تکثیر و تومورزایی می‌شود. میزان SOX2، موجب تنظیم ژن‌های هدف SOX2 و Oct4 و همچنین ایجاد CSC می‌شود به طوری که خاموش کردن SOX2 در سلول‌های بنیادی سرطان ریه، مهار رشد و متاستاز را درپی دارد (۲۷)؛ در مطالعه‌ای دیگر نشان داده شد که تشکیل ماموسفرویید در شرایط آزمایشگاهی، رابطه‌ای مستقیم با بیان Sox2 دارد. به طوری که افزایش بیان آن، موجب افزایش تشکیل اسفوروئید و مهار آن، مانع تشکیل اسفوروئید و تأخیر در تشکیل تومور در مدل‌های حیوانی می‌شود (۲۸). براساس مطالعات گذشته تمایز زدایی کارآمد سلول‌های ملانومایی درنتیجه بیان درون‌زاد^۴ Sox2 و Klf4 است (۲۶)؛ اما در مطالعه‌ما، بیان Sox2 در جمعیت CD133- بیشتر بوده است و تفاوتی معنادار در بیان Klf4 مشاهده نشده؛ البته باید توجه داشت که معیارهای رونویسی در قالب پروتئین دارای عملکرد

از هشت هفته قادر به ایجاد تومور هستند ولی در جمعیت CD133- حتی در تعداد زیاد سلول، تومور ایجاد نمی‌شود (۱۶). ولی مطالعه کوانیتانا و همکارانش نشان می‌دهد که هر دو گروه CD133+ و CD133- توانایی زیادی به ایجاد تومور دارند و تومورهای ایجاد شده از هر دو گروه سلولی، شامل جمعیت‌های CD133+ و CD133- هستند (۱۹)؛ این تفاوت نتایج در بررسی سلول‌های بنیادی سرطان ملانوما می‌تواند به مقدار زیادی، ناشی از تفسیرهای مختلف خود مدل و همچنین پراکندگی در روش‌های مطالعه باشد؛ برای نمونه در ملانوما مشاهده شده است که تغییرهای ویژه در پروتوكل پیوند زدن سلول موجب می‌شود که میزان سلول‌های شروع کننده تومور از ۰/۰۰۰۱ درصد به ۲۵ درصد افزایش یابند؛ این تغییرها شامل افزایش ناکارآمدی سیستم ایمنی موش نزد NSG، تزریق سلول‌ها در ماتریژل و سپس پیوند آن به مدل حیوانی و افزایش زمان برای مشاهده تشکیل تومور است (۲۴). در مطالعه حاضر به دلیل عدم دسترسی به مدل حیوانی نمی‌توان با قطعیت، شاخص CD133 را به شاخص سلول‌های بنیادی سرطان در این رده سلولی رد کرد یا پذیرفت ولی براساس تست عملکردی در شرایط آزمایشگاهی، مانند قدرت کلینی‌زایی و تشکیل اسفوروئید می‌توان جمعیت CD133+ را سلول‌های شبه‌بنیادی سرطان دانست؛ ازسوی دیگر، مطالعات ما نشان داده‌اند که رده سلولی CD133+ نسبت به سلول‌های CD133- کلینی‌زایی بیشتری دارند که می‌تواند به دلیل استرس ناشی از جداسازی سلول‌ها در دستگاه فلوسیتومتری باشد به این معنی که سلول‌های CD133+ به مدتی طولانی تحت فشار جداسازی قرار گرفته‌اند که می‌تواند بر توان عملکردی آنها اثر بگذارد. با وجود این، هدف این مطالعه، بررسی میان جمعیت‌های CD133+ و CD133- بود که هر دو گروه، شرایطی یکسان را متحمل شده‌اند؛ همچنین از میان ژن OCT4 و NANOG در جمعیت CD133+ بیان بیشتری داشته‌اند و ژن SOX2 در این گروه نسبت به جمعیت CD133-، کاهش بیان

^۱- Jeter^۲- Pluripotency^۳- CSC-like cells^۴- Endogenous

اسفرووید و همچنین بیان ژنهای OCT4 و NANOG ثابت می کند که شاخص CD133 می تواند برای جداسازی سلول های شبه بنیادی رده D10 و دیگر سلول های ملانوما که شاخص CD133 را بیان می کنند، در نظر گرفته شود.

هستند و بهتر است که بیان آنها علاوه بر آنکه در سطح ژن ارزیابی می شود، در سطح پروتئین نیز بررسی شود زیرا بیان ژن به تنهایی، معرف عملکرد نیست؛ با این حال، نتایج آنالیزهای عملکردی قدرت کلینی زایی و تشکیل

منابع

- Tomic T, Botton T, Cerezo M, Robert G, Luciano F, Puissant A, et al. Metformin inhibits melanoma development through autophagy and apoptosis mechanisms. *Cell Death Dis* 2011;2:e199.
- Mueller DW, Bosserhoff AK. Role of miRNAs in the progression of malignant melanoma. *Br J Cancer* 2009;101(4):551-6.
- Payne AS, Cornelius LA. The role of chemokines in melanoma tumor growth and metastasis. *J Invest Dermatol* 2002;118(6):915-22.
- Su DM, Zhang Q, Wang X, He P, Zhu YJ, Zhao J, et al. Two types of human malignant melanoma cell lines revealed by expression patterns of mitochondrial and survival-apoptosis genes: implications for malignant melanoma therapy. *Mol Cancer Ther* 2009;8(5):1292-304.
- Keshet GI, Goldstein I, Itzhaki O, Cesarkas K, Shenhav L, Yakirevitch A, et al. MDR1 expression identifies human melanoma stem cells. *Biochem Biophys Res Commun* 2008;368(4):930-6.
- Shapiro DG, Samlowski WE. Management of melanoma brain metastases in the era of targeted therapy. *J Skin Cancer* 2011;2011:845863.
- Schatton T, Frank MH. Cancer stem cells and human malignant melanoma. *Pigment Cell Melanoma Res* 2008;21(1):39-55.
- Bill MA, Fuchs JR, Li C, Yui J, Bakan C, Benson DM, Jr., et al. The small molecule curcumin analog FLLL32 induces apoptosis in melanoma cells via STAT3 inhibition and retains the cellular response to cytokines with anti-tumor activity. *Mol Cancer* 2010;9:165.
- Morrison R, Schleicher SM, Sun Y, Niermann KJ, Kim S, Spratt DE, et al. Targeting the mechanisms of resistance to chemotherapy and radiotherapy with the cancer stem cell hypothesis. *J Oncol* 2011;2011:941876.
- Spillane JB, Henderson MA. Cancer stem cells: a review. *ANZ J Surg* 2007;77(6):464-8.
- Ratajczak MZ. Cancer stem cells–normal stem cells "Jedi" that went over to the "dark side." *Folia Histochem Cytophiol* 2005;43(4):175-81.
- Welte Y, Adjaye J, Lehrach HR, Regenbrecht CR. Cancer stem cells in solid tumors: elusive or illusive? *Cell Commun Signal* 2010;8(1):6.
- Al Dhaybi R, Sartelet H, Powell J, Kokta V. Expression of CD133 + cancer stem cells in childhood malignant melanoma and its correlation with metastasis. *Mod Pathol* 2010;23(3):376-80.
- Monzani E, Facchetti F, Galmozzi E, Corsini E, Benetti A, Cavazzin C, et al. Melanoma contains CD133 and ABCG2 positive cells with enhanced tumourigenic potential. *Eur J Cancer* 2007;43(5):935-46.
- Vescovi AL, Galli R, Reynolds BA. Brain tumour stem cells. *Nat Rev Cancer* 2006;6(6):425-36.
- Sharma BK, Manglik V, O'Connell M, Weeraratna A, McCarron EC, Broussard JN, et al. Clonal dominance of CD133+ subset population as risk factor in tumor progression and disease recurrence of human cutaneous melanoma. *Int J Oncol* 2012.
- Hernandez D, Miquel-Serra L, Docampo MJ, Marco-Ramell A, Bassols A. Role of versican V0/V1 and CD44 in the regulation of human melanoma cell behavior. *Int J Mol Med* 2011;27(2):269-75.
- Prud'homme GJ, Glinka Y, Toullina A, Ace O, Subramaniam V, Jothy S. Breast cancer stem-like cells are inhibited by a non-toxic aryl hydrocarbon receptor agonist. *PLoS One* 2010;5(11)e13831.
- Quintana E, Shackleton M, Sabel MS, Fullen DR, Johnson TM, Morrison SJ. Efficient tumour formation by single human melanoma cells. *Nature* 2008;456(7222):593-8.
- Quintana E, Shackleton M, Foster HR, Fullen DR, Sabel MS, Johnson TM, et al. Phenotypic heterogeneity among tumorigenic melanoma cells from patients that is reversible and not hierarchically organized. *Cancer Cell* 2010;18(5):510-23.
- Ma J, Frank MH. Tumor initiation in human malignant melanoma and potential cancer therapies. *Anticancer Agents Med Chem* 2010;10(2):131-6.
- Shackleton M, Quintana E, Fearon ER, Morrison SJ. Heterogeneity in cancer: cancer stem cells versus clonal evolution. *Cell* 2009;138(5):822-9.
- Girouard SD, Murphy GF. Melanoma stem cells: not rare, but well done. *Lab Invest* 2011;91(5):647-64.
- Ishizawa K, Rasheed ZA, Karisch R, Wang Q, Kowalski J, Susky E, et al. Tumor-initiating cells

- are rare in many human tumors. *Cell Stem Cell* 2010;7(3):279-82.
- 25. Jeter CR, Liu B, Liu X, Chen X, Liu C, Calhoun-Davis T, et al. NANOG promotes cancer stem cell characteristics and prostate cancer resistance to androgen deprivation. *Oncogene* 2011;30(36):3833-45.
 - 26. Kumar SM, Liu S, Lu H, Zhang H, Zhang PJ, Gimotty PA, et al. Acquired cancer stem cell phenotypes through Oct4-mediated dedifferentiation. *Oncogene* 2012, (In Press).
 - 27. Xiang R, Liao D, Cheng T, Zhou H, Shi Q, Chuang TS, et al. Downregulation of transcription factor SOX2 in cancer stem cells suppresses growth and metastasis of lung cancer. *Br J Cancer* 2011;104(9):141.
 - 28. Leis O, Eguiara A, Lopez-Arribillaga E, Alberdi MJ, Hernandez-Garcia S, Elorriaga K, et al. Sox2 expression in breast tumours and activation in breast cancer stem cells. *Oncogene* 2012;31(11):1354-65.

Evaluating the expression of cell surface markers CD133, CD44 and ABCG2 in melanoma cell lines and its relationship with cancer stem cells

Motahareh Rajabi Fomeshi^{1,2}, Marzieh Ebrahimi^{3*}, Seyed Javad Mowla⁴, Fazel Sahraneshin Samani¹

1. M. Sc. - Department of Stem Cells and Developmental Biology, Cell Science Research Center, Royan Institute for Stem Cell Biology and Technology, ACECR, Tehran, Iran.
2. M. Sc. - Department of Developmental Biology, University of Science and Culture, ACECR, Tehran, Iran.
3. Assistant Professor - Department of Stem Cells and Developmental Biology, Cell Science Research Center, Royan Institute for Stem Cell Biology and Technology, ACECR, Tehran, Iran.
4. Associate Professor - Molecular Genetic Department, Faculty of Biological Science, Tarbiat Modares University, Tehran, Iran.

E-mail: mebrahimi@royaninstitute.org

Abstract

Background and Objective: Melanoma is the most deadly type of skin cancer that has a high potency and rapid metastasis to other organs. It appears that cancer stem cells (CSCs) are responsible for invasion and metastasis. The aim of this study was to investigate the expression of cancer stem cells candidate markers and their association with stemness features in melanoma cell lines.

Materials and Methods: The expression levels of CD133, CD44 and ABCG2 were measured in melanoma cell lines (WM115, NA8, SK-MEL, Me67, A375 and D10) by flow cytometry. Then, selected cell line was sorted up on the expression of selected stem cell marker into positive and negative populations. Afterward, The potential of cologenic, spheroid formation and expression of stem genes including NANOG, SOX2, OCT4 and KLF4 was estimated in positive, negative and unsorted cells.

Results: Our results demonstrated that $28.65 \pm 1.85\%$ of D10 cell line expressed CD133. However, CD44 and ABCG2 were or (not) expressed in all cell lines. The CD133⁺ sorted cells showed an increase in colony formation about 1.64 fold ($p<0.05$) and melanospheres about 2.2 fold ($p=0.00$) as compared to CD133-. The evaluation of stemness genes expression determined the significance of up-regulation of NANOG and OCT4 in CD133+ and SOX2 in CD133- respectively. There was no difference in KLF4 expression between the two groups.

Conclusion: Findings of this research showed that CD133 can be considered as stem-like cells marker in D10 cell line and other melanoma cells which expressed CD133.

Key words: Melanoma, Cancer stem cells, CD133.

Received: 2013/5/24

Last revised: 2013/9/22

Accepted: 2013/10/1